

# توزیع کسینوس هیپربولیک لگ لوژستیک و برآورد پارامترهای آن با استفاده از روش‌های ماکسیمم درست‌نمایی، بیزی و خودگردن

امید خوارزمی<sup>۱</sup>، علی سعادتی‌نیک<sup>۲</sup>

تاریخ دریافت: ۱۳۹۶/۶/۲

تاریخ پذیرش: ۱۳۹۶/۹/۱۷

## چکیده:

در این مقاله یک توزیع احتمال جدید براساس خانواده توزیع‌های کسینوس هیپربولیک ( $HCF$ ) - معرفی و ویژگی‌های مختلف آماری و قابلیت اعتماد آن بررسی می‌شود. رده جدید توزیع‌های  $HCF$  از طریق ترکیب یک توزیع انباسته  $F$  با تابع کسینوس هیپربولیک به دست می‌آید. براساس توزیع پایه لگ لوژستیک، یک توزیع جدید تحت عنوان کسینوس هیپربولیک لگ لوژستیک ( $HCLL$ ) معرفی و ویژگی‌های مختلف توزیع مانند گشتاورها، چندک‌ها، تابع مولد گشتاور، تابع نرخ شکست، میانگین باقیمانده عمر، آماره‌های ترتیبی و پارامتر تنش- مقاومت را ارائه شده‌است. برآورد پارامترهای توزیع  $HCLL$  برای مجموعه داده واقعی از طریق سه روش ماکسیمم درست‌نمایی، بیزی و خودگردن (پارامتری و ناپارامتری) بررسی می‌شود. کارایی روش برآورد ماکسیمم درست‌نمایی را از طریق شبیه‌سازی مونته‌کارلو مورد ارزیابی قرار گرفته است. همچنین، در بخش کاربرد با استفاده از یک مجموعه داده واقعی برتری مدل  $HCLL$  نسبت به توزیع‌های نمایی تعمیم‌یافته، واibel، کسینوس هیپربولیک نمایی، گاما و نمایی وزنی از طریق معیارهای مختلف انتخاب مدل نشان داده شده است.

**واژه‌های کلیدی:** تابع کسینوس هیپربولیک، توزیع لگ لوژستیک، میانگین باقیمانده عمر، برآورد ماکسیمم درست‌نمایی، روش خودگردن.

## ۱ مقدمه

واقعی لازم است تا توزیع‌های جدیدتری با قابلیت انعطاف بیشتر در زمینه داده‌های علوم و مهندسی ارائه شود. برخی از مهمترین روش‌های ساخت توزیع عبارت‌اند از خانواده توزیع‌های چوله آزالینی[؟]، توزیع‌های طول عمر متناسب بخت‌ها مارشال و اولکین[؟]، خانواده توزیع‌های بتا-نرم‌مال ایوجن و همکاران[؟] و توزیع‌های ارائه شده توسط الزاتره و همکاران[؟]. این موضوع توجه بسیاری از پژوهشگران را در سال‌های اخیر به خود جلب کرده‌اند. هدف این پژوهش معرفی یک توزیع جدید مرتبط با خانواده توزیع‌های پیوسته  $HCF$  (خوارزمی و سعادتی نیک[؟]) و بررسی بعضی از ویژگی‌های آماری این مدل جدید است. علاوه بر این، پارامترهای توزیع

در سالیان اخیر، توزیع‌های آماری به‌طور گسترده مورد توجه پژوهشگران آماری قرار گرفته‌اند. به‌دلیل اهمیت توزیع‌های آماری در توصیف پدیده‌های تصادفی، نظریه این شاخه از آمار روز به روز گسترش یافته و مدل‌های جدیدتری براساس توزیع‌های کلاسیک پایه ساخته می‌شوند. در دهه‌های اخیر استفاده از توزیع‌های آماری برای مدل‌سازی داده‌های واقعی در حوزه مهندسی، آمار، محیط زیست، پژوهشکی، جمعیت‌شناسی، اقتصاد، مالی و بیمه به‌طور روز افزونی مورد توجه قرار گرفته است. با این وجود، به‌دلیل تنوع داده‌های

<sup>۱</sup> عضو هیئت علمی گروه آمار، دانشگاه ولی عصر (عج) رفسنجان، ایران

<sup>۲</sup> دانش‌آموخته کارشناسی ارشد آمار، دانشگاه مازندران، ایران

خواهد بود. که در آن  $x > 0$  و  $a > 0$ . تابع توزیع انباسته به صورت

$$G(x, a) = \frac{2e^a}{e^{2a}-1} \sinh(aF(x)). \quad (3)$$

به دست می‌آید. همچنین تابع قابلیت اطمینان  $\bar{G}(x)$  و تابع نرخ شکست  $h(x)$  برای توزیع HCF به ترتیب به صورت

$$\bar{G}(x) = 1 - \frac{2e^a}{e^{2a}-1} \sinh(aF(x)) \quad (4)$$

و

$$\bar{G}(x) = \frac{\frac{2ae^a}{e^{2a}-1} f(x) \cosh(aF(x))}{1 - \frac{2e^a}{e^{2a}-1} \sinh(aF(x))}. \quad (5)$$

تعیین می‌شوند. چند ک مرتبه  $x_p$  مربوط به توزیع به صورت

$$x_p = F^{-1}\left(\frac{1}{a} \operatorname{arcsinh}\left(\frac{2ae^a}{e^{2a}-1}\right)\right). \quad (6)$$

است.

### ۳ توزیع HCLL و برخی از ویژگی‌های آن

در این بخش با استفاده از روش ساخت توزیع HCF، یک توزیع جدید سه پارامتری برپایه توزیع لگ لوژستیک معرفی و سپس برخی از ویژگی‌های آماری و قابلیت اعتماد آن مطالعه می‌شود.

**تعریف ۱.۳.** متغیر تصادفی  $X$  دارای توزیع کسینوس هیپربولیک لگ لوژستیک  $HCLL$  است، هرگاه تابع چگالی احتمال آن به صورت

$$g(x; a, \beta, \lambda) = \frac{2ae^a}{e^{2a}-1} \frac{\beta \lambda^\beta x^{\beta-1}}{(\lambda^\beta + x^\beta)^2} \cosh\left(\frac{ax^\beta}{\lambda^\beta + x^\beta}\right) \quad (7)$$

است. که در آن  $0 < a < 0$ ،  $\beta > 0$  و  $0 < x < \infty$  با نماد  $HCLL(a, \beta, \lambda)$  نشان داده می‌شود.

شکل ۱ حالت‌هایی از توزیع  $HCLL(a, \beta, \lambda)$  را برای مقادیر مختلف  $a$ ،  $\beta$  و  $\lambda$  نشان می‌دهد.

ارائه شده از طریق سه روش ماکسیمم درست‌نمایی،<sup>۳</sup> بیزی و بوت‌استرپ<sup>۴</sup> خودگردان مطالعه می‌شود. در پایان کاربرد توزیع جدید و برتری آن نسبت به برخی از مدل‌های آماری از طریق تحلیل داده‌های یک مثال واقعی نشان داده می‌شود. در ادامه این مقاله، در بخش ۲ مدل کلی HCF و ویژگی‌های مهم این خانواده از توزیع‌ها مرور می‌شود. در بخش ۳، به معرفی توزیع جدید HCLL و ویژگی‌های آن می‌پردازیم. سه روش مختلف برآورد پارامترهای توزیع پیشنهادی در بخش ۴ بررسی می‌شود. شبیه‌سازی، کاربرد و مقایسه مدل پیشنهادی با توزیع‌های معمول آماری بر اساس یک مثال از داده‌های واقعی در بخش ۵ ارائه شده است. در بخش ۶ مقاله نتیجه‌گیری می‌شود.

## ۲ خانواده توزیع‌های کسینوس F-(HCF)

در این بخش، ابتدا تعریف خانواده توزیع‌های کسینوس هیپربولیک (HCF)-Bیان و سپس بعضی از ویژگی‌های مهم این خانواده مرور می‌شود. تابع کسینوس هیپربولیک بر حسب تابع نمایی به صورت

$$\cosh(x) = \frac{e^x + e^{-x}}{2},$$

تعریف می‌شود. تابع  $\cosh(x)$  زوج است و دارای عبارت سری تیلور با نمایی زوج برای  $x$  به صورت

$$\cosh(x) = \sum_{n=0}^{\infty} \frac{x^{2n}}{(2n)!}, \quad (1)$$

است.

**تعریف ۱.۲.** فرض کنید  $X$  یک متغیر تصادفی پیوسته با تابع توزیع تجمعی  $F(x)$  (CDF) باشد، آنگاه توزیع کسینوس هیپربولیک  $F$ -HCF داری تابع چگالی احتمال (PDF) به صورت

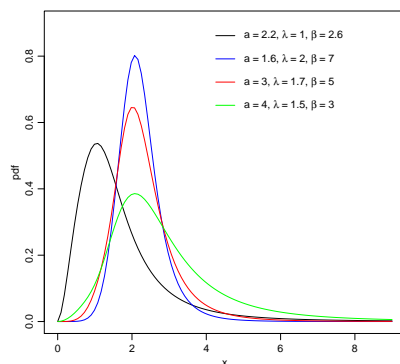
$$g(x, a) = \frac{2ae^a}{e^{2a}-1} f(x) \cosh(aF(x)) \quad (2)$$

<sup>۳</sup> Bayesian<sup>۴</sup> Bootstrap

محاسبه می‌شوند. تابع بقای شرطی نقش مهمی در طبقه‌بندی توزیع‌های طول عمر ایفا می‌کند. با استفاده از رابطه‌های (??) و (??) می‌توان تابع نرخ شکست را به صورت

$$h(x; a, \beta, \lambda) = \frac{\frac{2ae^a}{e^{ta}-1} \frac{\beta \lambda^\beta x^{\beta-1}}{(\lambda^\beta + x^\beta)^2} \cosh\left(\frac{ax^\beta}{\lambda^\beta + x^\beta}\right)}{1 - \frac{2ae^a}{e^{ta}-1} \sinh\left(\frac{ax^\beta}{\lambda^\beta + x^\beta}\right)} \quad (12)$$

تعیین کرد. نرخ شکست یک مفهوم کلیدی در تحلیل قابلیت اطمینان و اندازه‌گیری روند سالخوردگی است. دانستن شکل و رفتار نرخ شکست در نظریه قابلیت اطمینان، تحلیل ریسک و موارد مشابه دیگر دارای اهمیت بسیار است. در نظریه قابلیت اطمینان، مفاهیم مربوط به رفتار نرخ شکست از قبیل صعودی، نزولی، وان حمامی شکل (ابتدا نزولی و سپس صعودی) و وارون وان حمامی شکل (ابتدا صعودی و سپس نزولی) برای تحلیل داده‌های واقعی یک ابزار کلیدی محسوب می‌شوند. بر اساس همین مفاهیم رده‌های طول عمر تحت عنوان‌های IFR، DFR، UBT و BUT رده‌بندی می‌شوند. نرخ شکست توزیع را به دلیل شکل پیچیده نمی‌توان به صورت تحلیلی بررسی کرد. با بررسی نموداری تابع نرخ شکست توزیع مشاهده می‌شود که این تابع می‌تواند رفتار صعودی، نزولی و وارون وانی شکل داشته باشد. این حالات را می‌توان در شکل‌های ۲، ۳ و ۴ مشاهده کرد.



شکل ۱. تابع چگالی  $HCLL(a, \beta, \lambda)$  برای مقادیر مختلف پارامترهای  $a$ ،  $\beta$  و  $\lambda$ .

### ۱.۳ خواص آماری و قابلیت اطمینان توزیع HCLL

در این بخش، برخی از خواص مهم آماری و قابلیت اعتماد توزیع HCLL مانند تابع توزیع ابانته (CDF)، تابع بقا (SF)، تابع بقای شرطی (CSF)، تابع نرخ شکست (خطر) (FR)، تابع مولد گشتاور (MGF)، میانگین باقیمانده عمر (MRL)، ز-مین گشتاور، توزیع آماره‌های ترتیبی و پارامتر<sup>۵</sup> تنش- مقاومت بررسی می‌شود. تابع توزیع ابانته برای HCLL به صورت

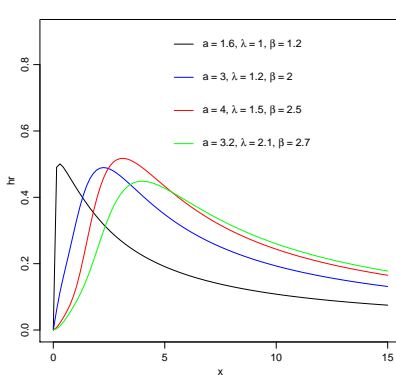
$$G(x; a, \beta, \lambda) = \frac{2ae^a}{e^{ta}-1} \sinh\left(\frac{ax^\beta}{\lambda^\beta + x^\beta}\right), \quad (8)$$

تعیین می‌شود. همچنین تابع بقا، چندک و تابع بقای شرطی به ترتیب به صورت

$$\bar{G}(x; a, \beta, \lambda) = 1 - \frac{2ae^a}{e^{ta}-1} \sinh\left(\frac{ax^\beta}{\lambda^\beta + x^\beta}\right) \quad (9)$$

$$x_p = \lambda \left( \frac{\operatorname{arcsinh}\left(\frac{2ae^a}{e^{ta}-1}\right)}{a - \operatorname{arcsinh}\left(\frac{2ae^a}{e^{ta}-1}\right)} \right)^{\frac{1}{\beta}}, \quad (10)$$

$$\begin{aligned} \bar{G}(x; a, \beta, \lambda | t) &= \frac{\bar{G}(x+t; a, \beta, \lambda)}{\bar{G}(x; a, \beta, \lambda)} \\ &= \frac{1 - \frac{2ae^a}{e^{ta}-1} \sinh\left(\frac{a(x+t)^\beta}{\lambda^\beta + x^\beta}\right)}{1 - \frac{2ae^a}{e^{ta}-1} \sinh\left(\frac{ax^\beta}{\lambda^\beta + x^\beta}\right)}, \end{aligned} \quad (11)$$



شکل ۲. شکل نرخ شکست توزیع  $HCLL(a, \beta, \lambda)$  برای برخی از مقادیر انتخاب شده پارامترها (نرخ شکست وارون وانی شکل).

<sup>۵</sup> Stress-Strength

$$M_X(t) = \left(\frac{ae^a}{e^{ta} - 1}\right)^t \times \sum_{j=0}^{\infty} \sum_{n=0}^{\infty} \frac{a^{tn} \lambda^j t^j}{(tn)! j!} B\left(1 - \frac{j}{\beta}, 1 + \frac{j}{\beta} + tn\right),$$

به دست آورده.  $j$ -مین گشتاور مرکزی توزیع HCLL را می‌توان از طریق رابطه

$$\mu_j = E(X^j) = \left(\frac{ae^a}{e^{ta} - 1}\right)^t \times \sum_{j=0}^{\infty} \sum_{n=0}^{\infty} \frac{a^{tn} \lambda^j t^j}{(tn)! j!} B\left(1 - \frac{j}{\beta}, 1 + \frac{j}{\beta} + tn\right). \quad (13)$$

محاسبه کرد. از طریق رابطه (13)، می‌توان میانگین و واریانس توزیع پیشنهادی را به ترتیب به صورت

$$E(X) = \frac{ae^a}{e^{ta} - 1} \sum_{n=0}^{\infty} \frac{a^{tn} \lambda}{(tn)!} B\left(1 - \frac{1}{\beta}, 1 + \frac{1}{\beta} + tn\right)$$

و

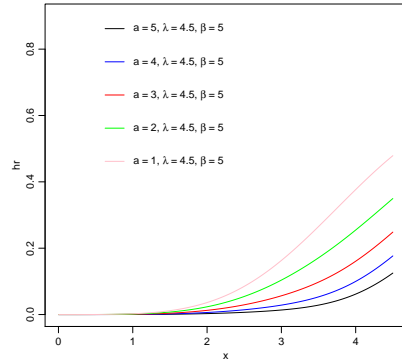
$$Var(X) = \mu_2 - E^2(X)$$

تعیین کرد. در رابطه‌های بالا  $B(\cdot, \cdot)$  تابع بتا است. یکی از مهمترین ویژگی‌های هر توزیع طول عمر، میانگین باقیمانده عمر آن توزیع است، در حالت توزیع HCLL میانگین باقیمانده عمر به صورت

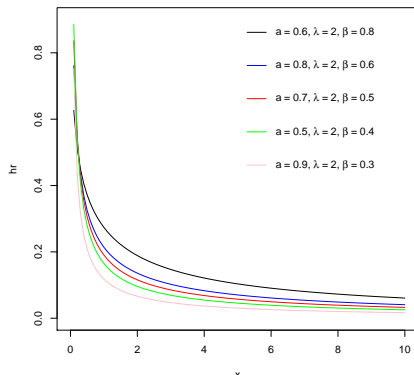
$$\begin{aligned} m(t) &= E(X - t | X > t) \\ &= \frac{ae^a \sum_{n=0}^{\infty} \frac{\lambda a^{tn}}{(tn)!}}{a^{ta} - 1 - ae^a \sinh\left(\frac{at^\beta}{\lambda^\beta + t^\beta}\right)} \\ &\times \left( \int_{\frac{t}{\lambda^\beta + t^\beta}}^{\frac{\lambda^\beta}{\lambda^\beta + t^\beta}} (1-z)^{\frac{1}{\beta} + tn} z^{-\frac{1}{\beta}} dz \right) \\ &- \frac{t}{tn+1} \left(1 - \left(\frac{\lambda^\beta}{\lambda^\beta + t^\beta}\right)^{tn+1}\right). \end{aligned}$$

### ۳.۳ آماره‌های ترتیبی و پارامتر تنش- مقاومت

محاسبه می‌شود. فرض کنید  $X_1, X_2, \dots, X_n$  یک نمونه تصادفی از توزیع  $HCLL(a, \beta, \lambda)$  باشد.  $i$ -امین آماره ترتیبی را با  $X_{i:n}$  نشان می‌دهیم. تابع چگالی احتمال آن



شکل ۳. شکل نرخ شکست توزیع  $HCLL(a, \beta, \lambda)$  برای برخی از مقادیر انتخاب شده پارامترها (نرخ شکست سعودی).



شکل ۴. شکل نرخ شکست توزیع  $HCLL(a, \beta, \lambda)$  برای برخی از مقادیر انتخاب شده پارامترها (نرخ شکست نزولی).

## ۲.۳ تابع مولد گشتاور و میانگین باقیمانده طول عمر

بعضی از ویژگی‌های مهم و خصوصیات یک توزیع را می‌توان از طریق گشتاورهای آن مانند تابع مولد گشتاور،  $j$ -امین گشتاور و میانگین باقیمانده طول عمر بررسی کرد. با استفاده از رابطه (?) تابع مولد گشتاور مرتبط با رابطه (?) را می‌توان به صورت

به صورت

به صورت

$$\begin{aligned}\ell(a, \beta, \lambda, \underline{x}) &= \log L(a, \beta, \lambda, \underline{x}) \\&= n \log \left( \frac{\gamma e^{a_1+a_\gamma}}{(e^{\gamma a_1} - 1)(e^{\gamma a_\gamma} - 1)} \right) + n \log \beta \\&\quad + n\beta \log \lambda + (\beta - 1) \sum_{i=1}^n \log x_i \\&\quad - 2 \sum_{i=1}^n \log(\lambda^\beta + x_i^\beta) \\&\quad + \sum_{i=1}^n \log(\cosh(\frac{ax_i^\beta}{\lambda^\beta + x_i^\beta})).\end{aligned}$$

نوشته می‌شود. براوردهای ماکسیمم درست‌نمایی برای پارامترهای  $a$ ،  $\beta$  و  $\lambda$  به ترتیب با  $\hat{a}$ ،  $\hat{\beta}$  و  $\hat{\lambda}$  نشان‌داده و از طریق حل هم‌zman معادلات نرمال زیر حاصل می‌شود. به علت غیرخطی بودن این معادلات، براوردهای ماکسیمم درست‌نمایی پارامترها به صورت عددی محاسبه می‌شود. در این مقاله از نرم‌افزار آماری  $R$  و روش عددی نیوتون-رافسون برای حل معادلات نرمال استفاده شده است.

#### ۲.۴ براوردهای خودگردان و بازه اطمینان خودگردان

عدم قطعیت در پارامترهای توزیع برآشش‌داده را می‌توان توسط نمونه‌برداری خودگردان پارامتری (نمونه‌گیری از توزیع برآشش‌داده شده) و ناپارامتری (نمونه‌گیری با جایگزینی از داده‌های اصلی) براورده کرد (افرون و تیپشیرانی [؟]). در بخش ۵ پارامترهای توزیع HCLL و بازه‌های اطمینان متناظر با استفاده از تکییک خودگردان در دو حالت پارامتری و ناپارامتری برای یک مثال از داده‌های واقعی ارائه شده است.

#### ۳.۴ براوردهای بیزی و بازه اطمینان باورپذیری

در مسئله براوردهایی، با توجه به این که از مقدار واقعی پارامتر اطلاع نداریم ممکن است با انتخاب یک براوردهای دچار زیان شویم. این زیان را می‌توان با تابعی از پارامتر مورد بررسی و براوردهای آن بیان کرد. برخی از توابع زیان شناخته شده و براوردهای بیزی متناظر به صورت زیر می‌باشند. کالا برای

$$\begin{aligned}f_{X_{i:n}}(x) &= \frac{n!}{(i-1)!(n-i)!} \frac{\gamma ae^a}{e^{\gamma a} - 1} \frac{\beta \lambda^\beta x^{\beta-1}}{(\lambda^\beta + x^\beta)^{\gamma}} \\&\quad \times \cosh(\frac{ax^\beta}{\lambda^\beta + x^\beta})(\frac{\gamma ae^a}{e^{\gamma a} - 1} \sinh(\frac{ax^\beta}{\lambda^\beta + x^\beta}))^{i-1} \\&\quad \times (1 - \frac{\gamma ae^a}{e^{\gamma a} - 1} \sinh(\frac{ax^\beta}{\lambda^\beta + x^\beta}))^{n-i}.\end{aligned}$$

به دست می‌آید. فرض کنید  $X_i \sim HCLL(a_i, \beta_i, \lambda_i)$  ،  $i = 1, 2$  و مستقل باشند، آنگاه پارامتر تنش- مقاومت

به صورت

$$\begin{aligned}P(X_1 < X_2) &= \frac{\gamma e^{a_1+a_\gamma}}{(e^{\gamma a_1} - 1)(e^{\gamma a_2} - 1)} \\&\quad \times \sum_{n=0}^{\infty} \sum_{m=0}^{\infty} \frac{a_1^{\gamma m+1} a_2^{\gamma n+1}}{(2n+1)!(2m+1)!} \\&\quad \times \int_0^1 \frac{(1-z)^{\gamma n+\frac{\beta_1}{\beta_2}(2m+1)}}{((\frac{\lambda_1}{\lambda_2})^{\beta_1} z^{\frac{\beta_1}{\beta_2}} + (1-z)^{\frac{\beta_1}{\beta_2}})^{2m+1}} dz\end{aligned}$$

است.

## ۴ براوردهای توزیع HCLL

در این بخش، سه روش براوردهای پارامترهای  $\beta$  و  $\lambda$  توزیع HCLL بیان می‌کنیم. این سه روش عبارت‌اند از روش ماکسیمم درست‌نمایی، روش خودگردان و روش بیزی. در هر سه روش فرض می‌کنیم که همه پارامترها نامعلوم هستند.

#### ۱.۴ براوردهای ماکسیمم درست‌نمایی

فرض کنید  $X_1, X_2, \dots, X_n$  یک نمونه تصادفی از چگالی  $f(x, \theta)$  باشد، آنگاه تابع درست‌نمایی براساس مقادیر مشاهده شده  $x_1, x_2, \dots, x_n$  به صورت

$$L(\underline{\theta}, \underline{x}) = \prod_1^n f(x_i, \underline{\theta}). \quad (14)$$

نوشته می‌شود. براوردهای حاصل از ماکسیمم‌سازی رابطه (؟؟)، براوردهای ماکسیمم درست‌نمایی (MLE) بردار  $\theta$  نامیده می‌شود. در حالت توزیع HCLL لگاریتم تابع درست‌نمایی

فرض کنید  $X_1, X_2, \dots, X_n$  یک نمونه تصادفی از توزیع  $HCLL(a, \beta, \lambda)$  باشد. بنا بر این، تابع چگالی پیشین توأم

به صورت

و پولیسنسی [؟] را ملاحظه کنید.

۱. تابع زیان درجه دوم خطأ

$$\pi(a, \beta, \lambda) = \frac{g^h c^b e^d}{\Gamma(h)\Gamma(b)\Gamma(d)} \lambda^{h-1} a^{b-1} \beta^{d-1} e^{-(g\lambda+ca+e\beta)}. \quad L(\gamma(\theta), d(\underline{x})) = (d(\underline{x}) - \gamma(\theta))^2,$$

برآورد گر بیز:

نوشته می‌شود. همچنین با توجه به رابطه توزیع پسین

$$d_B(\underline{x}) = E(\gamma(\theta))|\underline{x}).$$

$$\pi^*(a, \beta, \lambda | \underline{x}) \propto \pi(a, \beta, \lambda) f(\underline{x}, a, \beta, \lambda) \quad (15)$$

۲. تابع زیان قدر مطلق خطأ

$$L(\gamma(\theta), d(\underline{x})) = |d(\underline{x}) - \gamma(\theta)|,$$

خواهیم داشت

برآورد گر بیز:

$$\pi^*(a, \beta, \lambda | \underline{x}) = K \frac{g^h c^b e^d}{\Gamma(h)\Gamma(b)\Gamma(d)}$$

$$d_B(\underline{x}) = Median(\gamma(\theta))|\underline{x}).$$

$$\begin{aligned} & \times \lambda^{h-1} a^{b-1} \beta^{d-1} e^{-(g\lambda+ca+e\beta)} \\ & \times \prod_{i=1}^n \frac{\gamma ae^a}{e^{\gamma a} - 1} \frac{\beta \lambda^\beta x_i^{\beta-1}}{(\lambda^\beta + x_i^\beta)^2} \cosh\left(\frac{ax_i^\beta}{\lambda^\beta + x_i^\beta}\right), \end{aligned}$$

$$L(\gamma(\theta), d(\underline{x})) = (e^{c(d(\underline{x}) - \gamma(\theta))} - c(d(\underline{x}) - \gamma(\theta)) - 1),$$

برآورد گر بیز:

که در آن  $K$  به صورت

$$d_B(\underline{x}) = -\frac{1}{c} \ln(E(e^{-c\gamma(\theta)}|\underline{x})).$$

۴. تابع زیان آنتروپی تعمیم یافته

$$L(\gamma(\theta), d(\underline{x})) = \left[ \left( \frac{d(\underline{x})}{\gamma(\theta)} \right)^c - c \log\left( \frac{d(\underline{x})}{\gamma(\theta)} \right) - 1 \right]$$

برآورد گر بیز:

$$d_B(\underline{x}) = (E[\gamma^{-c}(\theta)|\underline{x}])^{-\frac{1}{c}}.$$

است. با توجه به این که برآورد گرهای بیزی برای هر کدام از پارامترهای توزیع  $HCLL$  تحت تابع زیان بیان شده در بالا دارای شکل صریح نمی‌باشد، شبیه‌سازی از توزیع پسین مربوط با استفاده از الگوییم MCMC و روش نمونه‌گیری گیس انجام و برآورد گرهای بیزی متناظر و بازه باورپذیری بیزی محاسبه می‌شود. برآورد کننده‌های بیزی پارامترهای  $a$ ،  $\beta$  و  $\lambda$  را به صورت  $\hat{a}_B$ ،  $\hat{\beta}_B$  و  $\hat{\lambda}_B$  نشان می‌دهیم.

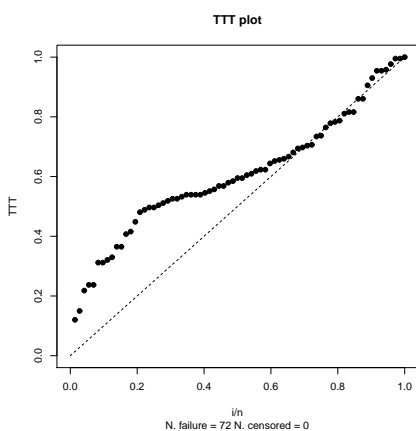
با توجه به این که پارامترهای توزیع  $HCLL$  دارای مقادیر نامنفی هستند، توزیع‌های پیشین مستقل برای هر کدام را به صورت

$$a \sim Gamma(b, c), \quad \lambda \sim Gamma(h, g),$$

$$\beta \sim Gamma(d, e).$$

در نظر می‌گیریم. همه پارامترهای  $b, c, h, g, d, e$  ثابت هستند.

۹۸ ۹۶ ۹۵ ۹۱ ۸۷ ۸۵ ۸۴ ۸۳ ۸۱ ۷۶ ۷۶ ۷۵ ۷۳ ۷۲ ۷۰ ۷۰ ۶۸  
۱۷۵ ۱۷۵ ۱۴۶ ۱۴۶ ۱۴۳ ۱۳۱ ۱۲۹ ۱۲۷ ۱۲۱ ۱۱۰ ۱۰۹ ۹۹  
.۳۷۶ ۳۴۱ ۳۴۱ ۲۹۷ ۲۶۳ ۲۵۸ ۲۵۸ ۲۳۳ ۲۱۱



شکل ۵. نمودار TTT مربوط به مجموعه داده واقعی.

قبل از تحلیل داده‌های مذکور از نمودار TTT برای تعیین اعتبار مدل خود استفاده می‌کیم. نمودار TTT یک ابزار گرافیکی برای تشخیص شکل تابع خطر است (آرست [۱] را ملاحظه کنید). شکل ۵ نشان می‌دهد نمودار TTT مقعر و بنابراین تابع نرخ شکست این مجموعه داده صعودی است. در ادامه این بخش پارامترهای توزیع به سه روش ماکسیمم درست‌نمایی، بیزی و خودگردان برآورد می‌شود. جدول ۳ محاسبات مربوط به برآورد پارامترها و فواصل اطمینان تحت سه روش مذکور را نشان می‌دهد. در روش ماکسیمم درست‌نمایی علاوه بر برآورد پارامترها بازه اطمینان ۹۵ درصد برای هر کدام از پارامترها محاسبه شده است. در حالت برآورد بیزی، چهار تابع زیان مختلف در نظر گرفته شده است. همچنین بازه اطمینان باورپذیری برای هر کدام از پارامترها به صورت جداگانه ارائه شده است. در حالت خودگردان، برآورد پارامترها در دو حالت خودگردان پارامتری و ناپارامتری محاسبه شده است. در این حالت نیز بازه اطمینان خودگردان برای هر کدام از پارامترها آورده شده است. با توجه به نتایج جدول ۲، مشاهده می‌شود که برآورد پارامترها و بازه‌های اطمینان متناظر تحت هر سه روش به کار برده شده منجر به نتایج یکسان شده است. مقدار لگاریتم تابع درست‌نمایی در همه حالت‌ها به جز برآورد بیز

## ۵ کاربرد و شبیه‌سازی توزیع HCLL

در این بخش ابتدا کارایی روش ماکسیمم درست‌نمایی به کمک شبیه‌سازی نمونه‌هایی با اندازه  $n$  از توزیع HCLL تحت انتخاب‌های مختلف از مقادیر پارامترها تولید کرده و سپس برآوردهای ماکسیمم درست‌نمایی برای پارامترهای  $\alpha$ ،  $\beta$  و  $\lambda$  محاسبه می‌شود. از جدول ۱ مشاهده می‌شود که با افزایش اندازه نمونه همان‌طور که انتظار می‌رود میانگین توان دوم خطا و اربیی روند کاهشی دارد. بنا بر این می‌توان پذیرفت که برآوردهای ماکسیمم درست‌نمایی سازگار هستند.

در ادامه این بخش با استفاده از داده‌های واقعی اهمیت و کاربرد توزیع HCLL را نشان می‌دهیم. ابتدا، پارامترهای توزیع HCLL برای یک مجموعه داده واقعی از طریق سه روش ماکسیمم درست‌نمایی، بیزی و خودگردان (پارامتری و ناپارامتری) برآورد و سپس برتری توزیع HCLL را نسبت به توزیع‌های گاما، وایل، نمایی تعمیم‌یافته (GE)، نمایی کسینوس هیپربولیک HCE و نمایی وزنی (WE) نشان می‌دهیم.

$$f_{Gamma}(x) = \frac{1}{\Gamma(\alpha)} \lambda^\alpha x^{\alpha-1} e^{-\lambda x}, \quad x \geq 0,$$

$$f_{Weibull}(x) = \frac{\beta}{\lambda^\beta} x^{\beta-1} e^{-(\frac{x}{\lambda})^\beta}, \quad x \geq 0,$$

$$f_{GE}(x) = \alpha \lambda e^{-\lambda x} (1 - e^{-\lambda x})^{\alpha-1}, \quad x \geq 0,$$

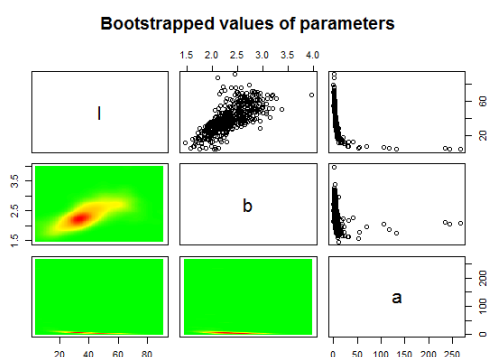
$$f_{HCE}(x) = \frac{2a e^a}{e^{ra} - 1} \lambda e^{-\lambda x} \cosh(a(1 - e^{-\lambda x})), \quad x \geq 0,$$

$$f_{WE}(x) = \frac{\alpha + 1}{\alpha} \lambda e^{-\lambda x} (1 - e^{-\lambda x}), \quad x \geq 0.$$

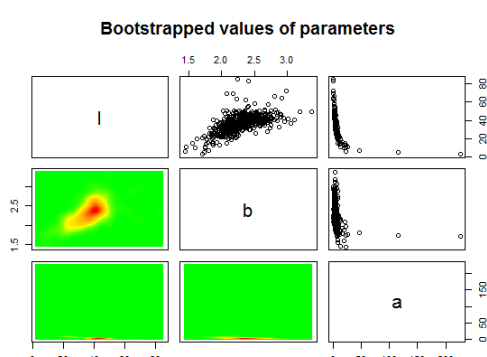
**مثال ۱.۵.** داده‌های کاربردی این بخش مربوط به مطالعه زمان بقای خوکجه‌های هندی در مقابل مقادیر مختلف تزریق باسیل سل است که گوپتا و کوندو [؟] برای نشان دادن برتری توزیع نمایی وزنی بر توزیع‌های گاما، وایل و نمایی تعمیم‌یافته مورد استفاده قرار داده‌اند. این مجموعه داده‌ها عبارت اند از:

۵۴ ۵۳ ۵۲ ۴۸ ۴۴ ۴۳ ۳۸ ۳۸ ۳۴ ۳۲ ۳۲ ۲۴ ۲۴ ۲۲ ۱۵ ۱۲  
۶۷ ۶۵ ۶۵ ۶۳ ۶۲ ۶۱ ۶۰ ۶۰ ۵۹ ۵۸ ۵۷ ۵۶ ۵۵ ۵۴

مدل جدول ۲، مشاهده می‌شود که کمترین مقدار  $AIC^*$  و  $W^*$  مربوط به توزیع HCLL است. واضح است که این معیارها برای مدل HCLL به طور چشمگیری کاهش یافته‌اند. با توجه به نتایج این جدول، کفایت مدل مورد بررسی نسبت به مدل‌های رایج دیگر تایید می‌شود. بنا بر این توزیع پیشنهادی، بهترین مدل برای توصیف و تحلیل داده‌های مذکور است. بافت‌نگاشت نسبی مربوط به داده‌ها و توابع چگالی برآش داده شده HCLL، گاما، وایل، کسینوس هیپربولیک نمایی، نمایی تعمیم‌یافته و نمایی وزنی، نمودار تابع انباشته تجربی و توابع انباشته برآش داده شده، نمودارهای  $P - P$  و  $Q - Q$  برای HCLL و توزیع‌های مذکور در شکل ۹ آورده شده است. این نمودارها نتایج جدول ۳ را تأیید می‌کنند.



شکل ۶. نمودار برآورد پارامترهای توزیع HCLL در حالت خودگردان پارامتری.



شکل ۷. نمودار برآورد ناپارامترهای توزیع HCLL در حالت خودگردان ناپارامتری.

تحت تابع زیان لاینکس با مقدار  $c = 3$  تقریباً یکسان هستند. تفاوت مقدار لگاریتم تابع درست‌نمایی تحت تابع زیان لاینکس به علت مقدار پارامتر  $c$  است و باعث بیش‌برآورده و کم‌برآورده می‌شود، بنا بر این چنین نتیجه‌ای منطقی به نظر می‌رسد. شکل‌های ۶ و ۷ به ترتیب نمودارهای مربوط به برآورده خودگردان پارامتری و ناپارامتری پارامترهای سه‌گانه توزیع HCLL را نشان می‌دهند. همچنین شکل ۸ نمودار چگالی پسین مربوط به پارامترهای سه‌گانه توزیع HCLL را نشان می‌دهد.

در پایان این بخش توزیع جدید را به داده‌های مثال ۱.۵ برآش داده و آن را با چگالی‌های وایل، نمایی تعمیم‌یافته، گاما، کسینوس هیپربولیک نمایی HCE و نمایی وزنی مقایسه می‌کنیم. یک مسئله مهم برای برآش داده‌ها توسط یک توزیع، آزمون نیکویی برآش است. برای این منظور، آزمون‌هایی بر مبنای اختلاف بین تابع توزیع برآش داده شده و تابع توزیع تجربی ارائه شده است. معیار آکائیک  $AIC = -2 \ln(L) + 2K$  که در آن  $L$  مقدار تابع درست‌نمایی و  $K$  تعداد پارامترهای مدل است، تعریف می‌شود. همچنین آماره‌های کرامر-ون میزز ( $W^*$ ) و اندرسون-دارلینگ ( $A^*$ ) به ترتیب به صورت

$$w^* = \int_{-\infty}^{\infty} (F_n(x) - F(x))' f(x) dx$$

و

$$A^* = -n - \frac{1}{n} \sum_{i=1}^n (2i-1)[\log(F(x_i)) + \log(1-F(x_{n-i+1}))].$$

تعریف می‌شوند.  $F$  نشان دهنده تابع توزیع برآش داده شده است. در مسائل کاربردی هرچه مقدار این معیارها کوچک‌تر باشند، برآش بهتری از توزیع مورد بررسی فراهم آورده می‌شود. جدول ۲ برآورد ماکسیمم درست‌نمایی پارامترها، معیار لگاریتم تابع درست‌نمایی، (LL) معیار اطلاع آکائیک (AIC)، آماره آزمون‌های کرامر-ون میزز ( $W^*$ ) و اندرسون-دارلینگ ( $A^*$ ) را نشان می‌دهد. با توجه به معیارهای انتخاب

**جدول ۱. میانگین توان دوم خطأ و (اریبی) برای براورد پارامترهای توزیع HCLL**

$\lambda = 0/5$	$\beta = 2$	$a = 2$	
(-0/0035) 0/0266	(-0/0104) 0/0716	(0/7903) 2/4127	50 n
(-0/0006) 0/0224	(-0/0169) 0/0550	(0/2083) 2/3968	75
(0/0017) 0/0198	(-0/0238) 0/0372	(0/1610) 1/7665	100
(0/0054) 0/0174	(-0/0363) 0/0225	(0/060) 1/2251	200

$\lambda = 2$	$\beta = 4$	$a = 1$	
(-0/0661) 0/0509	(0/0880) 0/2696	(0/1716) 0/8693	50 n
(-0/0695) 0/0457	(0/0276) 0/1599	(0/1656) 0/8261	75
(-0/0681) 0/0443	(-0/0058) 0/1176	(0/1669) 0/8113	100
(-0/0639) 0/0380	(-0/0224) 0/0634	(0/1323) 0/8143	200

$\lambda = 0/5$	$\beta = 1$	$a = 0/5$	
(-0/0473) 0/0249	(0/0337) 0/0169	(0/2700) 0/6345	50 n
(-0/0518) 0/0220	(0/0240) 0/01056	(0/2749) 0/6339	75
(-0/0537) 0/0203	(0/0153) 0/0075	(0/2744) 0/6485	100
(-0/0545) 0/01632	(0/0107) 0/0040	(0/2347) 0/6227	200

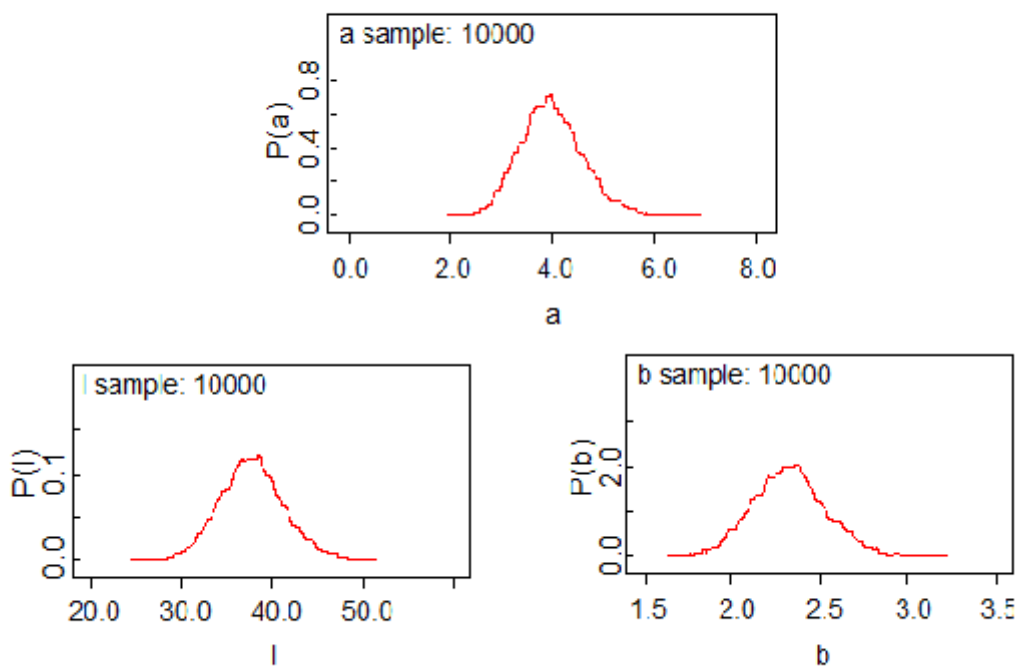
$\lambda = 0/2$	$\beta = 4$	$a = 0/1$	
(-0/0096) 0/0003	(0/1508) 0/2787	(0/6250) 0/9154	50 n
(-0/0095) 0/0003	(0/1154) 0/1833	(0/6105) 0/9103	75
(-0/0087) 0/00029	(0/0967) 0/1304	(0/5919) 0/89303	100
(-0/0083) 0/0002	(0/0629) 0/0649	(0/5440) 0/7905	200

$\lambda = 0/1$	$\beta = 0/2$	$alpha = 1$	
(0/1596) 0/5164	(0/0038) 0/0006	(0/1379) 0/8312	50 n
(0/1147) 0/1455	(0/0019) 0/0003	(0/0852) 0/7717	75
(0/1077) 0/1218	(0/0012) 0/0002	(0/0414) 0/7404	100
(0/0658) 0/0467	(-0/008) 0/0001	(0/0580) 0/7506	200

جدول ۲. برآوردهای ماکسیمم درستنمایی پارامترها برای داده‌های واقعی.

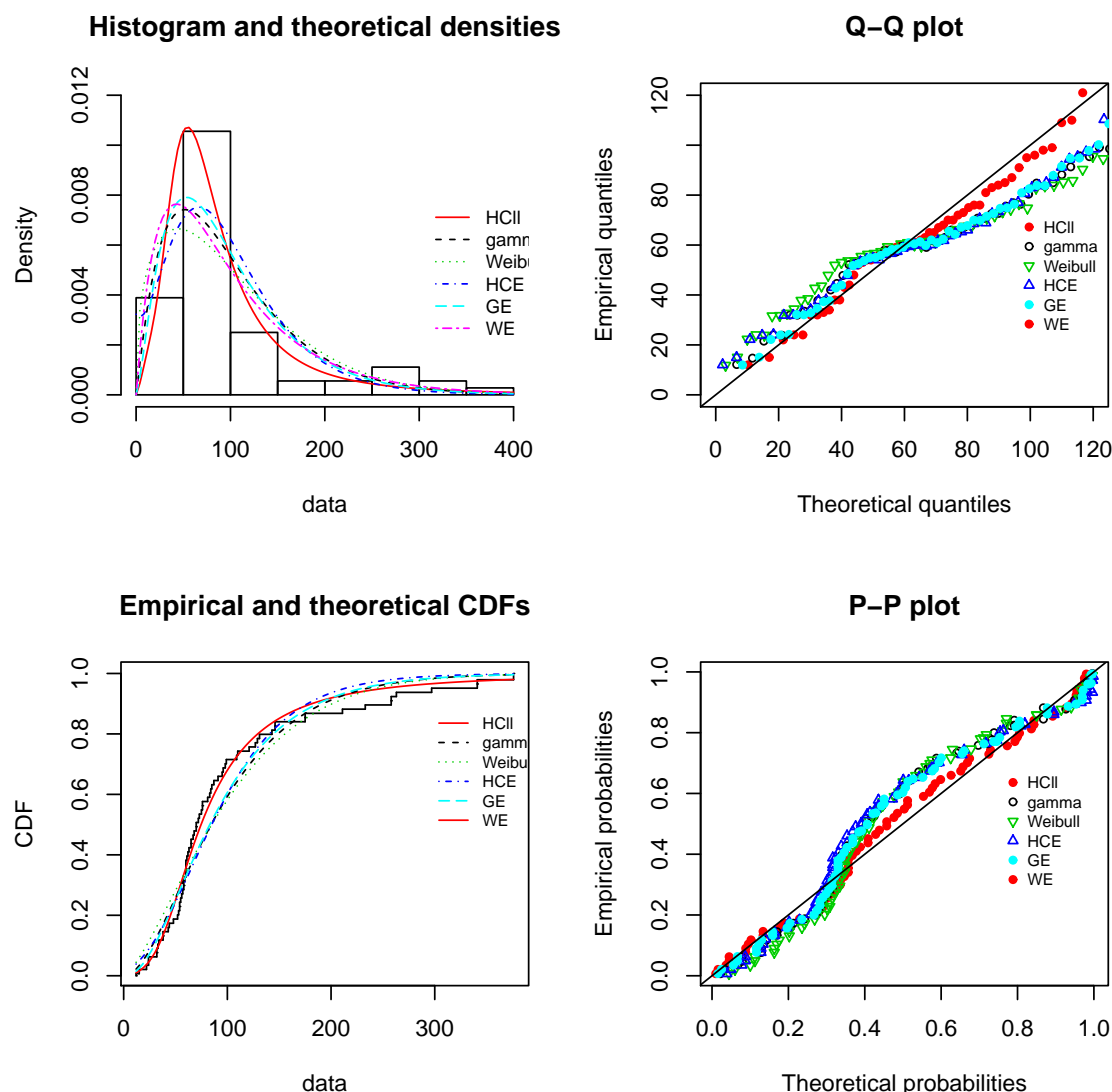
مدل	برآوردهای پارامترها	$LL$	$AIC$	$A^*$	$W^*$
$HCLL$	$(\hat{a}, \hat{\beta}, \hat{\lambda}) = (2/0.3, 2/3, 37/68)$	-۳۸۹/۳۹۳۵	۷۸۴/۷۸۶	۰/۵۰۵	۰/۰۸
$HCE$	$(\hat{a}, \hat{\lambda}) = (3/894, 0/02)$	-۳۹۷/۴۹۴۹	۷۹۸/۹۸۹	۲/۲۵	۰/۳۷
$Gamma$	$(\hat{a}, \hat{\lambda}) = (2/0.81, 0/02)$	-۳۹۴/۲۴۷۶	۷۹۲/۴۹۵	۱/۸۹	۰/۳۵
$Weibull$	$(\hat{\beta}, \hat{\lambda}) = (1/392, 110/5)$	-۳۹۷/۱۴۷	۷۹۸/۲۹۵	۲/۲۷	۰/۴۳
$GE$	$(\hat{a}, \hat{\lambda}) = (2/478, 0/016)$	-۳۹۳/۱۱۰	۷۹۰/۲۲	۱/۶۴	۰/۳۰
$WE$	$(\hat{a}, \hat{\lambda}) = (1/63, 0/014)$	-۳۹۳/۵۶۸	۷۹۱// ۱۳۸	۱/۶۲	۰/۲۹



شکل ۸. نمودارهای مربوط به توزیع پسین پارامترهای توزیع HCLL.

جدول ۳. برآورد پارامترهای توزیع HCLL با استفاده از سه روش مکسیمم درستنمایی، بیزی و خودگردن.

$\hat{\lambda}$	$\hat{\beta}$	$\hat{a}$	روش برآوردها
$37/68$ (۵۵/۶۶۸ و ۱۹/۶۹۱)	$2/202$ (۲/۸۳۷ و ۱/۷۶۷)	$4/030$ (۶/۶۲ و ۱/۴۴)	نقطه‌ای بازه اطمینان مقدار لگاریتم تابع درستنمایی
		$-389/383$	
$\hat{\lambda}_B$ (۴۵/۰۸۰ و ۳۱/۱۳)	$\hat{\beta}_B$ (۲/۷۵ و ۱/۹۴۱)	$\hat{a}_B$ (۵/۲۶۹ و ۲/۸۹۶)	روش برآوردهای بیزی تابع زیان درجه دوم خطای بازه اطمینان باورپذیر مقدار لگاریتم تابع درستنمایی
		$-389/406$	
$37/77$ (۴۵/۰۸۰ و ۳۱/۱۳)	$2/322$ (۲/۷۵ و ۱/۹۴۱)	$3/968$ (۵/۲۶۹ و ۲/۸۹۶)	نقطه‌ای بازه اطمینان باورپذیر مقدار لگاریتم تابع درستنمایی
		$-389/406$	
$27/876$ (۳۱/۱۱ و ۲/۷۴۹)	$2/410$ (۲/۷۴۹ و ۲/۳۲۲)	$3/215$ (۵/۲۶۹ و ۲/۸۹۶)	نقطه‌ای بازه اطمینان باورپذیر مقدار لگاریتم تابع درستنمایی
		$-405/82$	
$37/591$ (۴۵/۰۴۰ و ۳۱/۱۰)	$2/312$ (۱/۹۴۱ و ۲/۷۵)	$3/87$ (۵/۲۶۹ و ۲/۸۹۶)	نقطه‌ای بازه اطمینان باورپذیر مقدار لگاریتم تابع درستنمایی
		$-389/463$	
$\hat{\lambda}_P$	$\hat{\beta}_P$	$\hat{a}_P$	روش برآوردهای خودگردن پارامتری
$37/30$ (۷۰.۴۳۳ و ۱۰/۸۸۹)	$2/298$ (۳/۰۶۶ و ۱/۷۱۵)	$4/056$ (۲۷/۳۹۱ و ۱/۰۷۳)	نقطه‌ای بازه اطمینان چندکی مقدار لگاریتم تابع درستنمایی
		$-389/396$	
$\hat{\lambda}_{NP}$	$\hat{\beta}_{NP}$	$\hat{a}_{NP}$	روش برآوردهای خودگردن ناپارامتری
$38/20$ (۵۲/۷۹۱ و ۱۴/۷۰۳)	$2/299$ (۲/۸۷۳ و ۱/۷۷۱)	$4/045$ (۱۳/۷۷۱ و ۲/۱۲۸)	نقطه‌ای بازه اطمینان چندکی مقدار لگاریتم تابع درستنمایی
		$-389/417$	



شکل ۹. نمودار برآورد پارامترهای توزیع  $HCLL$  در حالت خودگردان پارامتری .

بسیار قوی برای دیگر توزیع‌های شناخته شده به کار برود. برآورد پارامترها به سه روش روش ماقسیم درست‌نمایی، خودگردان (پارامتری و ناپارامتری) و بیزی بررسی شده است. علاوه بر این با تحلیل یک مثال واقعی از داده‌های طول عمر مشاهده شده است که توزیع  $HCLL$  برآش بهتری را نسبت به توزیع‌های وایبل، گاما، نمایی تعمیم‌یافته، کسینوس هیپربولیک نمایی و نمایی وزنی فراهم می‌آورد.

## ۶ نتیجه‌گیری

در این مقاله یک توزیع احتمال جدید تحت عنوان  $HCLL$  پیشنهاد شده است. مدل  $HCLL$  از ترکیب توزیع مبنای لگ لوژستیک با تابع کسینوس هیپربولیک ساخته می‌شود. انتظار می‌رود که این توزیع پیشنهادی به طور گسترده در زمینه شاخه‌های مختلف علوم و مهندسی مورد استفاده قرار گیرد. توزیع  $HCLL$  می‌تواند به عنوان یک مدل رقیب

## مراجع

- [1] Aarset, M. V. (1987). How to identify a bathtub hazard rate. *IEEE Transactions on Reliability*, **36**(1), 106-108.
- [2] Alzaatreh, A., Lee, C., and Famoye, F. (2013). A new method for generating families of continuous distributions. *Metron*, **71**(1), 63-79.
- [3] Azzalini, A. (1985). A class of distributions which includes the normal ones. *Scandinavian journal of statistics*, 171-178.
- [4] Calabria, R., and Pulcini, G. (1996). Point estimation under asymmetric loss functions for left-truncated exponential samples. *Communications in Statistics-Theory and Methods*, **25**(3), 585-600.
- [5] Efron, B., and Tibshirani, R. J. (1994). *An introduction to the bootstrap*. CRC press.
- [6] Eugene, N., Lee, C., and Famoye, F. (2002). Beta-normal distribution and its applications. *Communications in Statistics-Theory and Methods*, **31**(4), 497-512.
- [7] Gupta, R. D., and Kundu, D. (2009). A new class of weighted exponential distributions. *Statistics*, **43**(6), 621-634.
- [8] Marshall, A. W., and Olkin, I. (1997). A new method for adding a parameter to a family of distributions with application to the exponential and Weibull families. *Biometrika*, **84**(3), 641-652.
- [9] Kharazmi, O., and Saadatinik, A. (2016). Hyperbolic Cosine-F Family of Distributions with an Application to Exponential Distribution. *Gazi University Journal of Science*, **29**(4), 811-829.
- [10] Team, R. C. (2014). R: A language and environment for statistical computing. *Computing*.